

بهبود بیان پروتئین اینترفرون بتای انسانی در سیستم بیان گذرای سلول‌های CHO DG44 با ایجاد یک تغییر در اولویت کدونی توالی ناپایدار کننده‌ی انتهای ژن اینترفرون بتا (CRID)

زهرا بزی^۱، دکتر حسن کر بکندی^۲، دکتر بتول هاشمی بنی^۳، دکتر زهره حجتی^۴، امین مرادی حسن آباد^۱،
دکتر محمدرضا مرآتی^۵

چکیده

مقدمه: بهینه‌سازی تولید اینترفرون بتا در سلول‌های CHO (Chinese hamster ovary) به عنوان یک میزبان بیانی که قادر به تولید پروتئین دارویی با کیفیت بالا می‌باشد، جهت کاهش قیمت و سرعت تولید این پروتئین نو ترکیب دارویی از اهمیت زیادی برخوردار است. هدف این مطالعه، بررسی تأثیر پایداری mRNA به واسطه‌ی ایجاد یک تغییر در اولویت کدونی در ناحیه‌ی ناپایدار کننده‌ی انتهای پروتئین اینترفرون بتا (CRID یا Coding region instability determinant) و بررسی اثر این موتاسیون‌ها بر روی میزان بیان گذرای سلول‌های CHO به عنوان فاکتوری در راستای بهبود بیان ژن بود.

روش‌ها: با استفاده از جدول اولویت کدونی (هامستر چینی) *Cricetulus griseus*، ۴ موتاسیون مورد نیاز برای ایجاد یک اولویت کدونی در توالی CRID ژن اینترفرون بتای انسانی طراحی شد. با روش SOEing PCR (Polymerase chain reaction-splicing by overlapping extension) در ناحیه‌ی CRID از ژن اینترفرون بتا موتاسیون‌های مورد نظر ایجاد شد و به وسیله‌ی کیت Express in® درون سلول‌های CHO ترانسفکت گردید. میانگین میزان اینترفرون بتای تولید شده توسط سلول‌های CHO ترانسفکت شده با ژن موتانت اینترفرون بتا با استفاده از کیت ELISA مخصوص این ماده با میانگین میزان اینترفرون بتای تولید شده توسط سلول‌های CHO ترانسفکت شده با ژن طبیعی مقایسه گردید.

یافته‌ها: موتاسیون‌های انجام شده به وسیله‌ی بررسی ژل و توالی‌یابی قطعات حاصل تأیید گردید. موتاسیون‌های حاصل جهت ایجاد یک اولویت کدونی در توالی CRID پس از ترانسفکت کردن ژن موتانت در سلول‌های CHO سبب افزایش معنی‌دار ۲/۹ برابری ($P < 0/05$) در میزان اینترفرون بتای تولید شده توسط سلول‌های CHO ترانسفکت شده با ژن موتانت نسبت به میزان اینترفرون بتای تولید شده توسط سلول‌های CHO ترانسفکت شده با ژن طبیعی گردید.

نتیجه‌گیری: موتاسیون‌های مدنظر با موفقیت انجام گردید و نشان داده شد که انجام این جهش‌ها در توالی ناپایدار کننده‌ی انتهای CRID می‌تواند به صورت معنی‌داری باعث افزایش پایداری و در نتیجه افزایش غلظت اینترفرون تولید شده در محیط کشت شود. این موتاسیون‌ها جدید بودند و تأثیر قابل توجه آن‌ها نیز به اثبات رسید. در مجموع، نتایج این تحقیق جالب توجه و کاربردی به نظر می‌رسد.

واژگان کلیدی: اینترفرون بتا، واکنش زنجیره‌ای پلیمرز، Codon Bias، CRID

مقدمه

اسید آمینه است که ۲۰ درصد آن را بنیان‌های قندی

تشکیل می‌دهند (۱). از IFN β در کلینیک به طور

اینترفرون بتا (IFN β) یک گلیکوپروتئین کروی با ۱۶۶

۱ گروه علوم تشریحی و بیولوژی مولکولی، دانشکده ی پزشکی، دانشگاه علوم پزشکی اصفهان، اصفهان، ایران

۲ استادیار، گروه ژنتیک و بیولوژی مولکولی، دانشکده‌ی پزشکی، دانشگاه علوم پزشکی اصفهان، اصفهان، ایران

۳ استادیار، گروه علوم تشریحی، دانشکده ی پزشکی، دانشگاه علوم پزشکی اصفهان، اصفهان، ایران

۴ گروه زیست شناسی دانشکده ی علوم، دانشگاه اصفهان، اصفهان، ایران

۵ دانشیار، گروه آمار و اپیدمیولوژی، دانشکده ی بهداشت، دانشگاه علوم پزشکی اصفهان، اصفهان، ایران ۲ استادیار، گروه بیوتکنولوژی، دانشکده داروسازی و علوم دارویی، دانشگاه علوم پزشکی اصفهان، اصفهان، ایران

Email: korbekandi@pharm.mui.ac.ir

نویسنده‌ی مسؤل: دکتر حسن کر بکندی

وکتور بیانی، بهینه‌سازی شرایط تولید، افزایش قدرت تولیدکنندگی سلول و بهینه‌سازی محیط کشت برای بهبود بیان پروتئین $IFN\beta$ در این سیستم صورت گرفته است (۱۶-۱۵).

با اطلاعات روزافزونی که در مورد مکانیسم تنظیم بیان ژن‌ها به دست می‌آید، مشخص شده است که فرایند پردازش ژن یکی از مراحل مهم در تنظیم بیان ژن پس از رونویسی و کنترل میزان بیان پروتئین در سیستم سلول‌های یوکاریوتی می‌باشد. میزان رونویسی، ویرایش اولیه، انتقال mRNA و میزان تخریب mRNA تعیین کننده‌ی میزان بیان پروتئین مورد نظر در سلول‌های پستانداران است (۱۷).

از مشکلات تولید زیاد $IFN\beta$ در سلول‌های پستانداران وجود توالی‌های ناپایدار کننده‌ی غنی از AU rich elements (AU یا ARE) در 3'-UTR و ناحیه‌ی ناپایدار کننده‌ی انتهای پروتئین $IFN\beta$ (CRID یا Coding region instability determinant) این ژن می‌باشد (۱۸). این توالی‌ها حاوی تکرارهایی از توالی ۵ تایی AUUUA می‌باشند که به نظر می‌رسد مسؤو ل پایداری و تنظیم بیان این mRNA باشند (۱۹).

حذف مستقل هر کدام از این نواحی باعث پایداری نسبی mRNA این ژن و حذف هر دوی آنها باعث افزایش قابل توجه در نیمه عمر mRNA ژن $IFN\beta$ می‌گردد (۱۸). همچنین مطالعات نشان داده است که نواحی ARE در $IFN\beta$ سبب یک فرایند آدنیلایسیون غیر هم‌زمان می‌گردد که مختص خانواده‌ی دوم از توالی ARE می‌باشد. مطالعات حذفی نشان‌دهنده‌ی دخالت توالی ۳۲ نوکلئوتیدی داخل ناحیه‌ی کدکننده‌ی ژن CRID به همراه ناحیه‌ی موجود در 3'-UTR در کوتاه شدن توالی دم پلی A هستند.

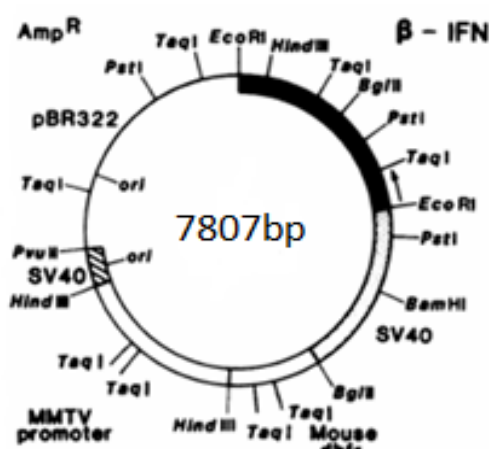
مؤثری به عنوان خط اول برای درمان و بهبود علائم Multiple sclerosis استفاده می‌شود (۴-۲). همچنین مطالعات زیادی نشان داده است که از $IFN\beta$ می‌توان برای درمان بیماری‌های خودایمنی (۵)، مهار تکثیر سلولی و مهار رگ‌زایی و در نتیجه درمان سرطان (۷-۶) و درمان عفونت‌های ویروسی (۹-۸) استفاده کرد.

امروزه فرم نوترکیب $IFN\beta$ بیشتر توسط باکتری‌ها و سلول‌های CHO (Chinese hamster ovary) تولید می‌شود، ولی $IFN\beta$ تولیدی در باکتری که به نام rh $IFN\beta$ شناخته می‌شود، کارایی پایین‌تری نسبت به فرم گلیکوزیله دارد (۱۰). همچنین تزریق مداوم آن نیز ایجاد اثرات جانبی در فرد بیمار می‌کند (۱۱). ولی حرکت الکتروفورزی پروتئین تولید شده در سلول‌های CHO، که به نام rh $IFN\beta$ شناخته می‌شود، بر روی SDS PAGE مشابه اینترفرون انسانی می‌باشد. الگوی گلیکوزیلاسیون این پروتئین دارای بیشترین شباهت با فرم طبیعی $IFN\beta$ است و در بدن غیر ایمونوژن و فعال می‌باشد. به همین دلیل سلول‌های CHO میزبان ترجیحی برای تولید این پروتئین نوترکیب است (۱۲). در این میان بیان گذرا تکنولوژی جدیدی است که به تازگی برای تولید سریع و زیاد پروتئین‌های نوترکیب در مقیاس صنعتی مورد توجه قرار گرفته است (۱۳). این سیستم نیازی به بیان پایدار و فرایند طولانی و وقت‌گیر انتخاب کلنی پایدار ندارد و خطر آلودگی و تغییر رده‌ی سلولی به دلیل استفاده‌ی درازمدت از آن نیز وجود ندارد. به همین دلیل تلاش‌های زیادی برای بهینه‌سازی و افزایش مقیاس تولید پروتئین‌های نوترکیب در این سیستم صورت گرفته است (۱۴).

برای این منظور کارهای زیادی مانند بهینه‌سازی

مقاومت به آمپی‌سیلین و برای سیستم‌های یوکاریوتی ژن دهیدروفولات رودکتاز می‌باشد. ژن $IFN\beta$ انسانی با طول ۱۴۵۳ نوکلئوتید در جایگاه آنزیمی EcoRI این پلاسمید کلون می‌شود. علاوه بر ژن $IFN\beta$ انسانی، پروموتور آن نیز در پلاسمید مورد نظر وارد شده است که بدون القا قادر به بیان است (۱۰).

ساختار پلاسمید $IFN\beta + pSVM$



شکل ۱. ساختار پلاسمید pSVM که ژن $IFN\beta$ در آن کلون شده است.

طراحی پرایمر:

پس از مشخص کردن توالی ناپایدارکننده‌ی انتهایی پروتئین $IFN\beta$ (۲۰، ۳۰) با استفاده از جدول اولویت کدون‌ی هامستر چینی (*Cricetulus griseus*)، ۴ موتاسیون انتخاب شد و ۲ جفت پرایمر برای PCR (SOEing Polymerase chain reaction-) با استفاده از نرم‌افزار Generuener® با توالی‌های زیر طراحی و برای سنتز به شرکت تکاپو زیست فرستاده شد. این پرایمرها باعث ایجاد دو قطعه‌ی ۵۷۱ bp و ۹۰۰ bp تایی از ژن $IFN\beta$ می‌شوند.

این پدیده مستقل از ترجمه و مستقل از فرایند تحریک می‌باشد (۲۰). به دلیل این که در فرایند تولید پروتئین $IFN\beta$ نمی‌توان انتهای کدکننده‌ی ژن را حذف کرد، بهینه‌سازی کدون‌ی تکنیک جدیدی است که در آن از زوال‌پذیری کدون‌های اسیدهای آمینه و وجود ۶۱ کد برای ۲۰ اسید آمینه جهت بهبود و افزایش کارایی بیان پروتئین مورد نظر در موجودات زنده‌ی مختلف می‌توان استفاده کرد (۲۱-۲۴).

بهینه‌سازی کدون‌ی شامل حذف توالی‌های تکراری و مهارکننده مثل عناصر غنی از AU و ساختارهای ثانویه‌ی RNA، جایگاه‌های برشی که باعث تأثیر بر روی میزان بیان mRNA مورد نظر می‌شود و مطابقت دادن اولویت کدون‌ی اسید آمینه با محتوای tRNA سلول مورد نظر می‌شود که باعث افزایش بیان پروتئین در نظر گرفته شده می‌گردد (۲۵-۲۷). از این رو از تغییر اولویت کدون‌ی برای حذف نواحی ناپایدارکننده و در نتیجه افزایش پایداری mRNA و بهبود بیان پروتئین استفاده شده است (۱۷، ۲۸-۲۹). با توجه به این مطالب هدف از این مطالعه، بهبود بیان $IFN\beta$ با تغییر اولویت کدون‌ی بر روی ناحیه‌ی انتهایی توالی کدکننده‌ی پروتئین $IFN\beta$ (CRID) در سیستم بیان‌گذرای سلول‌های CHO بود.

روش‌ها

پلاسمید و ژن $IFN\beta$ انسانی ($rhIFN-\beta$):

در این مطالعه از پلاسمید pSVM استفاده گردید (شکل ۱). این وکتور یک پلاسمید کلونینگ و بیانی با طول ۶۴۷۵ bp است که در سیستم سلول‌های یوکاریوتی مورد استفاده قرار گرفته است و مارکر انتخابی آن برای کلونینگ در پروکاریوت‌ها ژن

کلون کردن ژن موتاسیون یافته در پلاسمید pSVM
 از آن جایی که که دو انتهای ژن اینترفرون موتاسیون یافته دارای جایگاه برش آنزیم EcoRI می باشد، با استفاده از برش توسط آنزیم EcoRI، ژن مورد نظر طی واکنش اتصال (Ligation) وارد پلاسمید pSVM گردید و در باکتری E.coli XL-1 Blue پروتکل ترانسفورماسیون کتاب Sambrook ترانسفورم شد (۳۰). پس از استخراج پلاسمیدهای حاوی ژن توسط کیت استخراج پلاسمید (Qiagen، ۱۲۱۲۵)، پلاسمیدها برای تعیین توالی به شرکت تکاپو زیست فرستاده شدند.

کشت سلول‌ها:

سلول‌های CHO-DG₄₄ از انسیتو پاستور ایران خریداری شد. برای کشت این سلول‌ها از محیط پایه DMEM High glucose (Gipco) که به آن ۱۰ درصد سرم گاوی (Fetal bovine serum یا FBS) (Gipco) و ۰/۱ درصد آنتی بیوتیک استرپتومایسین/پنی سیلین (Sigma) اضافه شده بودند، استفاده شد. علاوه بر محیط پایه مقادیر ۰/۱ میلی مول هیپوگزانتین (Sigma) و ۰/۰۱ میلی مول تیمیدین (Sigma) به این محیط کشت افزوده گردید. این سلول‌ها در دمای ۳۷ درجه سانتی گراد و فشار گاز CO₂ ۵ درصد به صورت سوسپانسیون کشت و پاساژ داده شدند.

F1 = GGAATTCTCAGGTCGTTTGC
 R1 = TCAGCCTGTTGATGAAGTAGAAG
 F2 = CTACTTCATCAACAGGCTGACAG
 R2 = GGAATTCTAACTTTATGATGAGAGAA
 پرایمرهای F1 و R1 باعث ایجاد یک قطعه ۹۰۰ نوکلئوتیدی و پرایمرهای F2 و R2 باعث ایجاد یک قطعه ۵۷۱ نوکلئوتیدی از ژن IFN β می شوند.

ایجاد موتاسیون به روش SOEing PCR

این روش یکی از روش‌های بسیار کارآمد در ایجاد موتاسیون می باشد که برای ایجاد موتاسیون از ۳ مرحله PCR جدا استفاده می کند. برای ایجاد موتاسیون‌های مورد نظر از آنزیم $\text{PFU polymerase}^{\text{®}}$ (Fermentase) که دارای خاصیت تصحیح اشتباه است، استفاده گردید؛ اما برای Set up کردن ابتدایی PCR از آنزیم $\text{Taq polymerase}^{\text{®}}$ (Fermentase) استفاده شد. واکنش PCR مرحله اول و دوم طبق جدول ۱ برای هر یک از قطعات صورت گرفت. با استفاده از کیت استخراج DNA از ژل (۲۷۸۰۴) Qiagen $^{\text{®}}$ دو قطعه ۵۷۱ و ۹۰۰ جفت بازی از ژل استخراج گردید و به نسبت مساوی مخلوط شد. این مخلوط در واکنش سوم PCR برای متصل کردن قطعات مورد استفاده قرار گرفت. در ۱۰ سیکل اول بدون پرایمر، آنیله شدن در دمای ۴۸ درجه سانتی گراد انجام پذیرفت و در ۲۰ سیکل دوم با استفاده از پرایمرهای F1/R2، آنیله شدن در دمای ۴۹ درجه سانتی گراد انجام شد.

جدول ۱. واکنش PCR مرحله اول و دوم برای هر یک از قطعات

نام قطعه	پرایمرها	Annealing (درجه سانتی گراد)	Mgso4 (میلی مول)	dNTPs (میلی مول)	پرایمر (پیکومول)
۹۰۰ Bp	F1/R1	۵۲	۱/۵	۰/۰۲	۱۰
۵۷۱ Bp	F2/R2	۵۰	۱/۵	۰/۰۲	۱۰

ترانسفکشن پلاسمیدها درون سلول‌های CHO.

پلاسمیدهای حاوی ژن موتاسیون یافته و ژن طبیعی با استفاده از کیت استخراج پلاسمید K-۱۰۰۰ (Genet bio) استخراج گردید و سپس با استفاده از کیت (Express-in), open biosystem (ETR4621) به داخل سلول‌ها ترانسفکت گردیدند. ترانسفکشن در پلیت‌های ۲۴ خانه‌ای با مقادیر $10^3 \times 10$ سلول، ۰/۵ میکروگرم پلاسمید و ۲/۵ میکروگرم Reagent ترانسفکشن انجام شد.

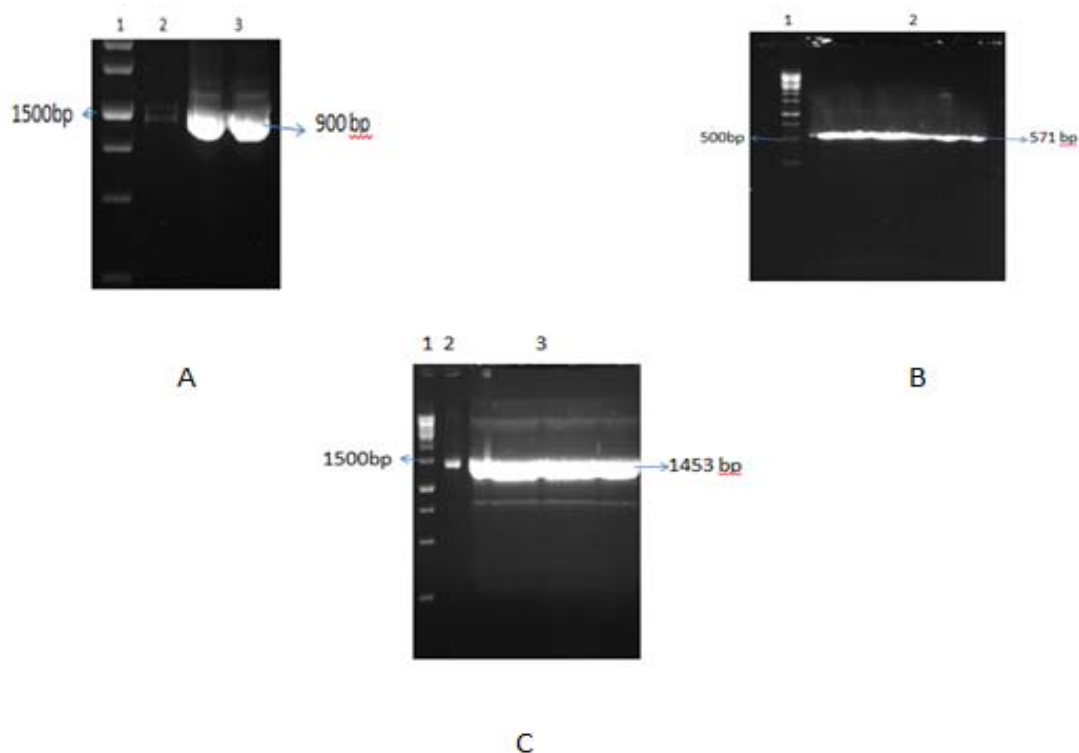
برای این منظور پس از شمارش سلول‌ها با لام نئوبار مقادیر مناسب سلول برای سه تکرار محاسبه گردید و طبق پروتکل کیت ترانسفکشن مراحل ترانسفکشن انجام شد.

اندازه‌گیری غلظت $IFN\beta$

برای این منظور مایع رویی محیط کشت پس از ۴۸ ساعت جمع‌آوری و با استفاده از کیت ELISA $IFN\beta$ انسانی KAC1201 (Invitrogene) فرم فعال $IFN\beta$ در محیط کشت اندازه‌گیری شد.

یافته‌ها**ایجاد موتاسیون به روش SOEing PCR**

برای ارزیابی تغییر اولویت کدونی نیاز به ایجاد ۴ موتاسیون در ناحیه CRID ژن $IFN\beta$ بود. PCR با استفاده از SOEing PCR طی سه مرحله صورت پذیرفت (شکل ۲). تصاویر ژل‌های A، B و C در شکل ۲، نتایج ژل الکتروفورز قطعات اول، دوم و



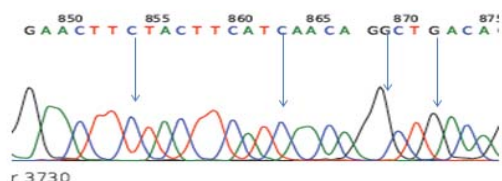
شکل ۲. نتایج حاصل از ژل الکتروفورز قطعات حاصل از ۳ مرحله SOEing PCR. ژل A، قطعه‌ی حاصل از PCR مرحله‌ی اول را نشان می‌دهد که ستون اول مربوط به Ladder 1kb و ستون دوم و سوم مربوط به قطعات ۹۰۰ bp می‌باشد. ژل B قطعه‌ی حاصل از PCR دوم را نشان می‌دهد که ستون اول مربوط به Ladder 1kb و ستون دوم مربوط به قطعه‌ی ۵۷۱ bp می‌باشد. ژل C قطعه‌ی کامل $IFN\beta$ حاوی موتاسیون می‌باشد. ستون اول مربوط به Ladder 1kb و ستون دوم مربوط به ژن $IFN\beta$ طبیعی و ستون سوم مربوط به ژن $IFN\beta$ موتاسیون یافته‌ی سرهم بندی شده می‌باشد.

مقایسه‌ی میانگین بیان $IFN\beta$ انسانی در ژن طبیعی و موتانت:

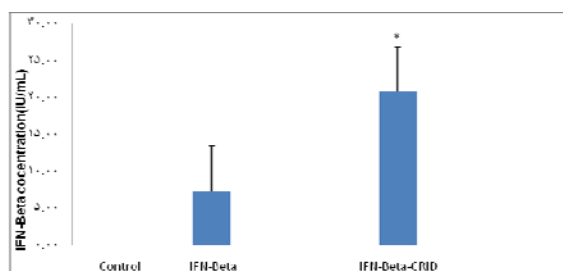
موتاسیون‌های حاصل جهت ایجاد یک اولویت کدونی در توالی CRID و ترانسفکت کردن ژن موتانت در سلول‌های CHO سبب افزایش معنی‌دار ۲/۹ برابری ($P < 0/05$) در میزان $IFN\beta$ تولید شده نسبت به میزان $IFN\beta$ تولید شده توسط سلول‌های CHO ترانسفکت شده با ژن طبیعی گردید (شکل ۶).

GAACCTTACTTCATTAAACAGACTIACA

شکل ۴. توالی CRID ژن $IFN\beta$ طبیعی. نوکلئوتیدهای که زیر آن خط کشیده شده است، نوکلئوتیدهای هدف برای ایجاد موتاسیون می‌باشند.



شکل ۵. نتایج تعیین توالی ژن موتاسیون یافته در ناحیه‌ی CRID. نوکلئوتیدهایی که با پیکان به آن اشاره شده است، موتاسیون‌های هدف ایجاد شده می‌باشند.

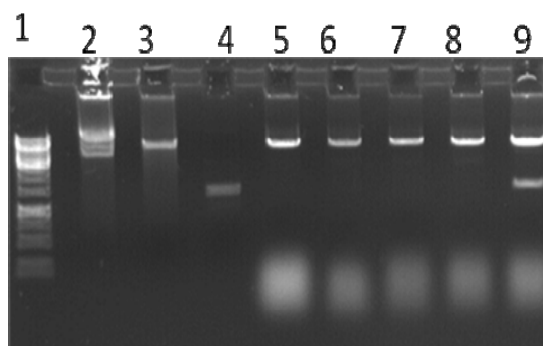


شکل ۶. غلظت $IFN\beta$ تولید شده در محیط کشت حاوی سلول‌های ترانسفکت شده به وسیله‌ی ژن طبیعی و موتاسیون یافته در ناحیه‌ی CRID. غلظت $IFN\beta$ به وسیله‌ی روش ELISA با استفاده از منحنی کالیبراسیون $IFN\beta$ استاندارد تعیین گردید. تعداد تکرار آزمایش ۳ بار و معنی‌دار بودن (*) با استفاده از آزمون One-way ANOVA تعیین گردید ($P < 0/05$, $n = 3$).

نهایی را نشان می‌دهند. همان طور که مشاهده می‌شود قطعات با اندازه‌های مورد نظر ایجاد شده بودند.

کلون کردن ژن موتاسیون یافته در پلاسمید:

شکل ۳ نشان دهنده‌ی هضم پلاسمیدهای استخراج شده از باکتری‌هایی که از مرحله‌ی لیگاسیون به دست آمده‌اند با آنزیم EcoR1 می‌باشد. این کار باعث خارج شدن ژن از پلاسمید می‌شود و جهت تأیید کلون شدن ژن‌های موتاسیون یافته در پلاسمید pSVM صورت پذیرفت.



شکل ۳. هضم پلاسمیدهای استخراج شده بعد از مرحله‌ی لیگاسیون با آنزیم EcoR1. ستون اول مربوط به Ladder 1kb، ستون دوم مربوط به پلاسمید برش نخورده، ستون سوم مربوط به پلاسمید برش خورده، ستون چهارم مربوط به ژن اینترفرون، ستون پنجم تا هشتم مربوط به پلاسمیدهای برش خورده‌ی بدون ژن و ستون نهم مربوط به پلاسمید برش خورده‌ی حاوی ژن موتاسیون یافته می‌باشد.

تأیید انجام موتاسیون به وسیله‌ی تعیین توالی:

سازه‌ی (Construct) ساخته شده حاوی ژن $IFN\beta$ موتاسیون یافته برای تأیید ایجاد موتاسیون‌ها به شرکت تکاپو زیست فرستاده شد و توسط دستگاه LTD sequencing تعیین توالی گردید. نتایج حاصل نشان دهنده‌ی موفقیت آمیز بودن SOEing PCR در ایجاد موتاسیون‌های مورد نظر بود. در شکل‌های ۴ و ۵ می‌توان توالی طبیعی را با توالی موتاسیون یافته که تعیین توالی شده‌اند، مقایسه نمود.

بحث

در این مطالعه با در نظر گرفتن قسمتی از توالی که باعث ناپایداری mRNA ژن $IFN\beta$ می‌گردد (۳۱، ۲۰) و پس از بررسی بر روی مکانیسم و نحوه‌ی عملکرد آن، موتاسیون‌های مناسب برای غیر فعال‌سازی این ناحیه‌ی ناپایدار کننده طراحی شد و با استفاده از یک جفت پرایمر به طور همزمان ۴ موتاسیون طراحی شده به صورت موفقیت‌آمیزی در ژن انجام گردید. در این مطالعه نشان داده شد که با ایجاد تغییرات محدودی در اولویت کدونی بدون تغییر در توالی اسید آمینه‌ای در توالی موجود در انتهای پروتئین $IFN\beta$ می‌توان میزان بیان $IFN\beta$ را در سیستم بیان گذرا بهبود بخشید. این موضوع به دلیل کاهش محتوای AU در توالی ناپایدار کننده‌ی ژن اینترفرون است که پیش از این مشخص شده بود باعث ناپایداری ژن $IFN\beta$ می‌گردد (۱۹-۱۸). مطالعات قبلی در مورد این ژن نشان داده بود که حذف این نواحی غنی از AU باعث بهبود پایداری mRNA می‌شود (۲۰-۱۸).

درک صحیح از مکانیسم‌ها و توالی‌های مهم درگیر در فرایند پردازش ژن و ویرایش اولیه و انتقال mRNA و نیمه عمر mRNA به عنوان فاکتورهای تعیین کننده در میزان بیان پروتئین مورد نظر در سلول‌های پستانداران حایز اهمیت هستند (۱۷).

با شناسایی این مکانیسم‌ها و توالی‌های درگیر در آن می‌توان با ایجاد کمترین تغییرات در ساختار mRNA و تحت‌الشعاع قرار دادن برهم‌کنش‌های mRNA با سایر فاکتورهای سلولی، این توالی‌های کاهنده در میزان بیان پروتئین را حذف یا از کارایی آن‌ها کاست. همان طور که پیش از این اشاره شد بهینه‌سازی کدونی رویکرد جدیدی است که یکی از اهداف آن حذف این عنصر کاهنده در ژن مورد نظر و

در نتیجه بهبود میزان بیان پروتئین است (۲۷-۲۵).

در مطالعات قبلی در مورد ژن‌های دیگر، از بهینه‌سازی کدونی برای کاهش سطح دی‌نوکلئوتید AU و در نتیجه غیر فعال‌سازی توالی‌های ناپایدار کننده‌ی موجود در آن‌ها استفاده شده است. افزایش پایداری mRNA موجب بهبود بیان پروتئین مربوط گردیده است (۲۵-۲۴، ۱۷).

تفسیر علت افزایش غلظت $IFN\beta$ ی تولیدی در این مطالعه را شاید بتوان به دلیل بهبود پایداری mRNA به دلیل افزایش نیمه عمر mRNA دانست. بدین ترتیب میزان در دسترس قرار گرفتن آن توسط دستگاه پروتئین‌سازی سلول بالا می‌رود و در نتیجه میزان بیان آن در سلول افزایش می‌یابد.

با تحقیقاتی که در مورد تنظیم بیان ژن $IFN\beta$ صورت گرفته است، در کنار استفاده از دیگر فاکتورها برای بهبود بیان این پروتئین می‌توان از بهینه‌سازی کدونی برای حذف و غیر فعال‌سازی هر دو توالی ناپایدار کننده‌ی ژن $IFN\beta$ استفاده کرد و تأثیر آن را هم بر روی میزان پایداری mRNA و همچنین بر روی میزان بیان ژن $IFN\beta$ در سیستم بیان گذرا و همین طور سیستم بیان پایدار سنجید.

نتیجه‌گیری

موتاسیون‌های مد نظر با موفقیت انجام گردید و نشان داده شد که انجام این جهش‌ها در توالی ناپایدار کننده‌ی انتهایی (CRID) می‌تواند به صورت معنی‌داری باعث افزایش پایداری و در نتیجه افزایش غلظت اینترفرون تولید شده در محیط کشت شود. این موتاسیون‌ها جدید بودند و تأثیر قابل توجه آن‌ها نیز به اثبات رسید. در کل، نتایج این تحقیق جالب توجه و کاربردی به نظر می‌رسد.

References

- Karpusas M, Whitty A, Runkel L, Hochman P. The structure of human interferon-beta: implications for activity. *Cell Mol Life Sci* 1998; 54(11): 1203-16.
- Weinstock-Guttman B, Ramanathan M, Zivadinov R. Interferon-beta treatment for relapsing multiple sclerosis. *Expert Opin Biol Ther* 2008; 8(9): 1435-47.
- Corboy JR, Goodin DS, Frohman EM. Disease-modifying Therapies for Multiple Sclerosis. *Curr Treat Options Neurol* 2003; 5(1): 35-54.
- Goldberg LD, Edwards NC, Fincher C, Doan QV, Al-Sabbagh A, Meletiche DM. Comparing the cost-effectiveness of disease-modifying drugs for the first-line treatment of relapsing-remitting multiple sclerosis. *J Manag Care Pharm* 2009; 15(7): 543-55.
- Meyer O. Interferons and autoimmune disorders. *Joint Bone Spine* 2009; 76(5): 464-73.
- Sims TL, McGee M, Williams RF, Myers AL, Tracey L, Hamner JB, et al. IFN-beta restricts tumor growth and sensitizes alveolar rhabdomyosarcoma to ionizing radiation. *Mol Cancer Ther* 2010; 9(3): 761-71.
- Taylor KL, Leaman DW, Grane R, Mechti N, Borden EC, Lindner DJ. Identification of interferon-beta-stimulated genes that inhibit angiogenesis in vitro. *J Interferon Cytokine Res* 2008; 28(12): 733-40.
- Haasbach E, Droebner K, Vogel AB, Planz O. Low-dose interferon Type I treatment is effective against H5N1 and swine-origin H1N1 influenza A viruses in vitro and in vivo. *J Interferon Cytokine Res* 2011; 31(6): 515-25.
- Arase Y, Suzuki F, Akuta N, Sezaki H, Suzuki Y, Kawamura Y, et al. Efficacy and safety of combination therapy of natural human interferon beta and ribavirin in chronic hepatitis C patients with genotype 2 and high virus load. *Intern Med* 2010; 49(11): 965-70.
- Mc Cormick FP, Innis MA, Ringold GM. Human interferon β (IFN- β) produced in Chinese hamster ovary (CHO) cells. [US patent; NO: 5795779]. 1988. [Online]. Available from: URL: <http://patents.justia.com/1998/05795779.html>
- Malucchi S, Sala A, Gilli F, Bottero R, Di SA, Capobianco M, et al. Neutralizing antibodies reduce the efficacy of betaIFN during treatment of multiple sclerosis. *Neurology* 2004; 62(11): 2031-7.
- Conradt HS, Egge H, Peter-Katalinic J, Reiser W, Siklosi T, Schaper K. Structure of the carbohydrate moiety of human interferon-beta secreted by a recombinant Chinese hamster ovary cell line. *J Biol Chem* 1987; 262(30): 14600-5.
- Baldi L, Hacker DL, Adam M, Wurm FM. Recombinant protein production by large-scale transient gene expression in mammalian cells: state of the art and future perspectives. *Biotechnol Lett* 2007; 29(5): 677-84.
- Muller N, Derouazi M, Van TF, Wulhfard S, Hacker DL, Jordan M, et al. Scalable transient gene expression in Chinese hamster ovary cells in instrumented and non-instrumented cultivation systems. *Biotechnol Lett* 2007; 29(5): 703-11.
- Han YK, Koo TY, Lee GM. Enhanced interferon-beta production by CHO cells through elevated osmolality and reduced culture temperature. *Biotechnol Prog* 2009; 25(5): 1440-7.
- Fischer D, Bernard A, Ducommun P, Rossi M. Process for the preparation of glycosylated interferon beta. [European Patent Application EP1917276]. 2008. [Online]. Available from: URL: <http://www.freepatentsonline.com/EP1917276.html>
- Hung F, Deng L, Ravnkar P, Condon R, Li B, Do L, et al. mRNA stability and antibody production in CHO cells: improvement through gene optimization. *Biotechnol J* 2010; 5(4): 393-401.
- Raj NB, Pitha PM. 65-kDa protein binds to destabilizing sequences in the IFN-beta mRNA coding and 3' UTR. *FASEB J* 1993; 7(8): 702-10.
- Kruys V, Wathelet M, Poupart P, Contreras R, Fiers W, Content J, et al. The 3' untranslated region of the human interferon-beta mRNA has an inhibitory effect on translation. *Proc Natl Acad Sci U S A* 1987; 84(17): 6030-4.
- Paste M, Huez G, Kruys V. Deadenylation of interferon-beta mRNA is mediated by both the AU-rich element in the 3'-untranslated region and an instability sequence in the coding region. *Eur J Biochem* 2003; 270(7): 1590-7.
- Woo JH, Liu YY, Mathias A, Stavrou S, Wang Z, Thompson J, et al. Gene optimization is necessary to express a bivalent anti-human anti-T cell immunotoxin in *Pichia pastoris*. *Protein Expr Purif* 2002; 25(2): 270-82.
- Wu L, Barry MA. Fusion protein vectors to increase protein production and evaluate the immunogenicity of genetic vaccines. *Mol Ther* 2000; 2(3): 288-97.
- Te'o VS, Cziferszky AE, Bergquist PL, Nevalainen KM. Codon optimization of xylanase gene *xynB* from the thermophilic bacterium *Dictyoglomus thermophilum* for expression in the filamentous fungus *Trichoderma reesei*. *FEMS Microbiol Lett* 2000; 190(1): 13-9.
- Valencik ML, McDonald JA. Codon optimization markedly improves doxycycline regulated gene expression in the mouse heart. *Transgenic Res* 2001; 10(3): 269-75.

25. van Gaal EV, Hennink WE, Crommelin DJ, Mastrobattista E. Plasmid engineering for controlled and sustained gene expression for nonviral gene therapy. *Pharm Res* 2006; 23(6): 1053-74.
26. Duan J, Antezana MA. Mammalian mutation pressure, synonymous codon choice, and mRNA degradation. *J Mol Evol* 2003; 57(6): 694-701.
27. Graf M, Schoëdl T, Wagner R. Rationals of gene design and de novo gene constructions. In: Fu P, Latterich M, Panke S, editors. *Systems biology and synthetic biology*. Hoboken, NJ: John Wiley & Sons; 2009.
28. Anson DS, Dunning KR. Codon-optimized reading frames facilitate high-level expression of the HIV-1 minor proteins. *Mol Biotechnol* 2005; 31(1): 85-8.
29. Fath S, Bauer AP, Liss M, Spriestersbach A, Maertens B, Hahn P, et al. Multiparameter RNA and codon optimization: a standardized tool to assess and enhance autologous mammalian gene expression. *PLoS One* 2011; 6(3): e17596.
30. Sambrook J, Russell DW. *Molecular cloning: A laboratory manual*. 3rd ed. New York: Cold Spring Harbor Laboratory Press; 2001. p. 382-5.
31. Khabar KS, Young HA. Post-transcriptional control of the interferon system. *Biochimie* 2007; 89(6-7): 761-9.

Improvement of Interferon-Beta Production in Transient Expression System of CHO DG₄₄ by a Codon Bias Change in Instability Sequence (CRID) of C-terminal of Interferon Beta Gene

Zahra Bezi¹, Hassan Korbekandi PharmD, PhD², Batoool Hashemibeni PhD³,
Zohreh Hojjati PhD⁴, Amin Moradi Hassanabad¹, Mohammad Reza Marasi PhD⁵

Abstract

Background: Improvement of mRNA stability and therefore, production of interferon beta (IFN β) in Chinese hamster ovary (CHO) cell, as a recombinant protein expression system, is very important. The aim of this study was to investigate this effect by creating a codon bias change in instability sequence located in C-terminal of interferon beta protein (Coding region instability determinant or CRID).

Methods: Mutations were designed in 4 points, according to codon bias table of *Cricetulus griseus*, using polymerase chain reaction/splicing by overlapping extension (SOEing PCR) method inside the CRID of interferon beta gene. The concentration of interferon beta in the medium of Chinese hamster ovary cell was determined using ELISA test kit.

Findings: The mutations were verified by gel-electrophoresis and sequencing the resultant DNA. The mutations in resulted in a significant (2.9 times) increase in interferon- β concentration ($P < 0.05$).

Conclusion: The mutations in CRID could significantly increase the stability of mRNA and the resultant Interferon β concentration in the medium. These mutations were novel and their effectiveness was proved.

Keywords: Interferon beta, Polymerase chain reaction/splicing by overlapping extension (SOEing PCR), C-terminal of interferon beta protein (CRID), Codon bias, Chinese hamster ovary

¹ Department of Anatomy and Molecular Biology, School of Medicine, Isfahan University of Medical Sciences, Isfahan, Iran

² Assistant Professor, Department of Genetics & Molecular Biology, School of Medicine, Isfahan University of Medical Sciences, Isfahan, Iran.

³ Assistant Professor, Department of Anatomical Sciences, School of Medicine, Isfahan University of Medical Sciences, Isfahan, Iran

⁴ Department of Biology, School of Sciences, University of Isfahan, Isfahan, Iran

⁵ Associate Professor, Department of Epidemiology, School of Public Health, Isfahan University of Medical Sciences, Isfahan, Iran

Corresponding Author: Hassan Korbekandi PharmD, PhD, Email: korbekandi@pharm.mui.ac.ir